

а)

б)

Рисунок 2 – Динамика прогрева и температурные поля внутренней (а) и наружной (б) поверхности высокоглиноземистой (1) и графитовой (2) футеровки фурмы при изменении ее толщины в пределах 0,07-0,24 м

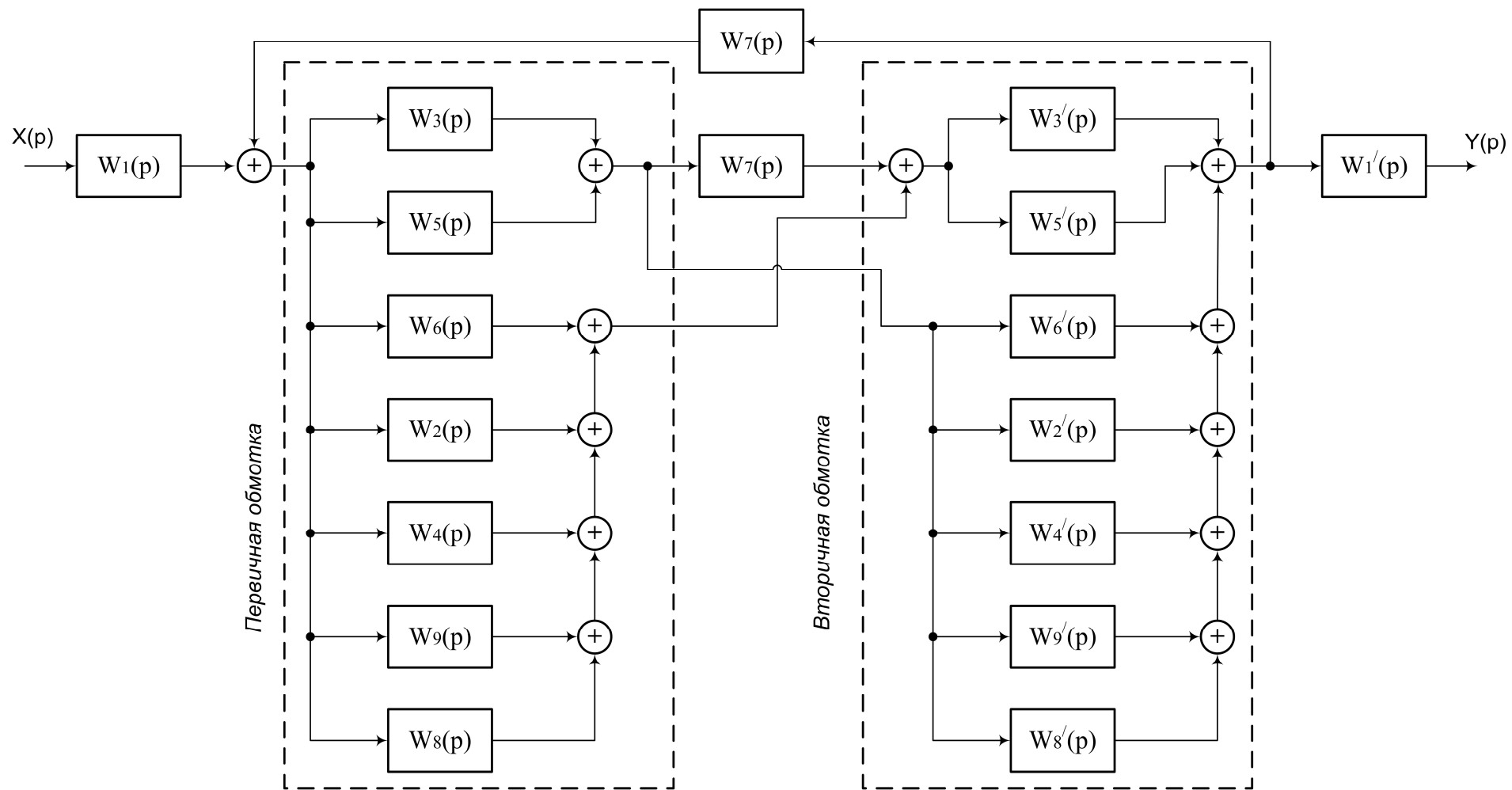


Рисунок 2 – Структурная схема трансформатора Тесла

Таблица 2 – Петрографический состав компонентов шихты по классам крупности

Класс крупности шихты, мм	Общий состав угля, %						Состав чистого угля, %				Отражательная способность витринита
	Чистый уголь	Глинистый материал	Сульфиды железа	Карбонаты	Прочие	Всего	Витринит	Лейптинит	Фюзинит	ΣОК	
12 ÷ 80	97,75	-	0,75	-	1,5	100	75,06	2,69	22,25	22,25	0,79
6 ÷ 12	96,06	1,72	0,74	1,48	-	100	82,64	1,47	15,89	15,89	0,83
3 ÷ 6	97,41	1,18	1,18	-	0,23	100	92,22	1,70	6,08	6,08	0,98
1 ÷ 3	96,92	2,13	0,95	-	-	100	91,83	1,92	6,25	6,25	0,85
0,5 ÷ 1	96,64	2,16	1,20	-	-	100	93,82	1,43	4,75	4,75	0,85
0,5 ÷ 6	97,32	1,22	0,73	-	0,73	100	90,76	2,88	7,16	7,16	0,84
0 ÷ 0,5	96,03	2,19	0,49	-	0,49	100	93,63	1,18	5,19	5,19	0,81
Шихта	97,30	0,49	0,73	1,48	-	100	86,09	0,94	12,97	12,97	0,83

Таблиця 1 – Показники основних параметрів роботи аеротенку лівобережних очисних споруд м. Дніпродзержинська протягом року

№	Дата	xT	xpH	xHa	xPO	xФ	xОд	xВд	xМи	xХСК	xБСК	yT	ypH	yHa	yPO	yФ	yХСК	yБСК
1	4.01.	12	6,82	43,7	2,62	10,05	240	2,37	101	240	97	5	7,37	36,1	7,51	14,74	61,4	8,18
3	25.01.	12	6,88	65,6	4,69	17,74	250	2,21	113	270	123	4	7,18	90,3	7	14,07	54	8,11
4	1.02.	10	6,94	72,2	4,65	16,42	320	2,56	125	356	190	2	7,48	77,9	8	15,08	52,4	8,88
6	22.02.	9	6,96	74,3	6,06	13,92	340	1,78	191	280	137	2	7,38	53,7	8,63	15,17	46	6,72
7	1.03.	10	6,93	64,5	4,48	12,26	250	2,13	117	200	139	12	7,14	79,4	8,62	15,08	52	7,29
9	29.03.	12	7,03	52,1	5,65	13,57	300	2,35	128	250	168	9	7,44	50,1	8,45	15,17	62,6	7,35
10	5.04.	12	7,19	64,55	3,92	15,08	200	1,64	122	244	211	11	7,31	64,2	7,81	19,1	58	6,94
12	26.04.	14	7,09	70,3	2	14,4	350	2,99	117	145	141	10	7,68	57	9,83	11,1	54,5	6,72
13	3.05.	14	7,02	35,2	2,01	16,08	360	2,12	170	286	159	10	7,81	36,1	10,09	17,42	56	8,11
15	31.05.	21	7,11	51,3	4,62	14,74	100	0,88	114	263	131	19	7,25	41,8	5,28	16,75	58	6,05
16	7.06.	22	7,06	76	4,84	16,08	80	0,9	89	263	104	21	7,14	60,5	4,54	16,75	50,5	6,59
18	28.06.	21	7,07	62,7	4,2	17,01	140	0,89	157	222	113	21	7,2	53,2	4,34	16,6	52	5,8
19	5.07.	23	7,21	27,5	1,16	14,72	200	1,07	187	242	159	23	7,28	52,9	5,23	15,7	60	6,92
21	26.07.	24	7,12	47	5,09	13,42	190	0,72	264	265	121	24	7,42	21,7	6,85	16,68	66	8,11
22	2.08.	24	7,15	48	3,36	13,42	80	0,52	154	242	130	24	7,2	29,5	3,47	14,72	62	6,73
24	30.08.	24	6,98	65,6	4,77	15,7	140	0,87	161	257	145	24	7,12	48	5,2	15,05	57,4	6,85
25	6.09.	23	6,85	92,9	5,68	14,07	130	0,84	155	163	83	21	6,91	73,4	3,75	14,72	52,5	6,33
27	27.09.	21	6,86	69,4	5,5	17,51	130	0,64	203	222	116	20	7,09	55,4	4,19	14,63	53,5	6,04
28	4.10.	20	7,01	69,5	5,06	14,72	110	0,77	143	238	125	20	6,96	55,8	3,1	16,68	52	6,04
30	25.10.	17	6,8	65,6	3,09	16,36	80	0,7	114	200	97	13	7,19	48	5,14	13,09	52,5	5,88
31	1.11.	17	6,89	73,4	2,29	17,4	50	0,56	89	220	139	12	7,02	58,7	7	14,4	56	6,2
33	29.11.	12	6,83	69,5	5,35	17,34	280	0,84	333	220	118	6	7,06	55,8	4,36	16,68	57,4	8,57
34	29.11.	12	6,83	69,5	5,35	17,34	280	0,84	333	220	118	6	7,06	55,8	4,36	16,68	57,4	8,57
35	6.12.	12	6,89	60,7	1,27	14,7	90	0,71	831	220	122	7	7,14	52,9	3,2	15,38	58,6	7,32
36	27.12.	10	7,21	21,2	8,81	14,4	340	0,56	607	340	185	4	7,32	21,2	5,29	14,4	64,6	10,07